

F4160

Vakuová fyzika 1

Pavel Slavíček

email: ps94@physics.muni.cz

Osnova:

- Úvod a historický vývoj
- Volné plyny
 - statický stav plynů
 - dynamický stav plynů
- Získávání vakua - vývěvy s transportem molekul z čerpaného prostoru
 - vývěvy s periodicky se měnícím prostorem
 - vývěvy s neproměnným pracovním prostorem
 - paroproudové vývěvy
- Měření vakua
 - měření celkových tlaků
 - měření parciálních tlaků
 - hledání netěsností ve vakuových systémech

Navazující přednášky:

- Vakuová fyzika 2 - **F6450**
 - Vázané plyny
 - Sorpční vývěvy
 - Měření ve vakuové fyzice
 - měření proudu plynu
 - měření tenze par
 - Konstrukční prvky vakuových zařízení
- Praktikum z vakuové fyziky - **F7541**
- Fyzika nízkých teplot - **F8450**

Literatura

- B.Suurmeijer, T. Mulder, J. Verhoeven: Vacuum Science and Technology, 2016
- J. Groszkowski: Technika vysokého vakua, SNTL, Praha 1981
- L. Pátý: Fyzika nízkých tlaků, Academia, Praha 1968
- V. Sítko: Vakuová technika, SNTL, Praha 1966
- J. Král: Cvičení z vakuové techniky, ČVUT Praha 1996
- V. Dubravcová: Vákuová a ultravákuová technika, Alfa, Bratislava 1992
- A. Roth: Vacuum technology, Elsevier, 1990
- J.F.O'Hanlon: A User's Guide to Vacuum Technology, Wiley, 2003
- W. Espe: Technologia hmot vákuovej techniky, Slovenská akadémia vied, Bratislava 1960
- A.Tálský, J.Janča: Speciální praktikum z vysokofrekvenční elektroniky a fyziky plazmatu, skripta, Brno 1975

- J.Jelínek, Z. Málek: Kryogenní technika, SNTL, Praha, 1982
- Delchar: Vacuum Physics and Techniques, Chapman Hall, 1993
- L.Patý: Základní pojmy fyziky plynů, SPNP, Praha 1970
- P.Lukáč: Zbierka príkladov z vakuovej fyziky, UKB, Bratislava 1988
- P.Lukač, V.Martišovitš: Netěsnosti vakuových systémov, Alfa, Bratislava 1981
- P.Slavíček a kol.: Vakuová fyzika 1, Munipress 2016
- Zpravodaje CVS
- firemní katalogy
- internet: www - stránky výrobců vakuové techniky, ...

Úvod

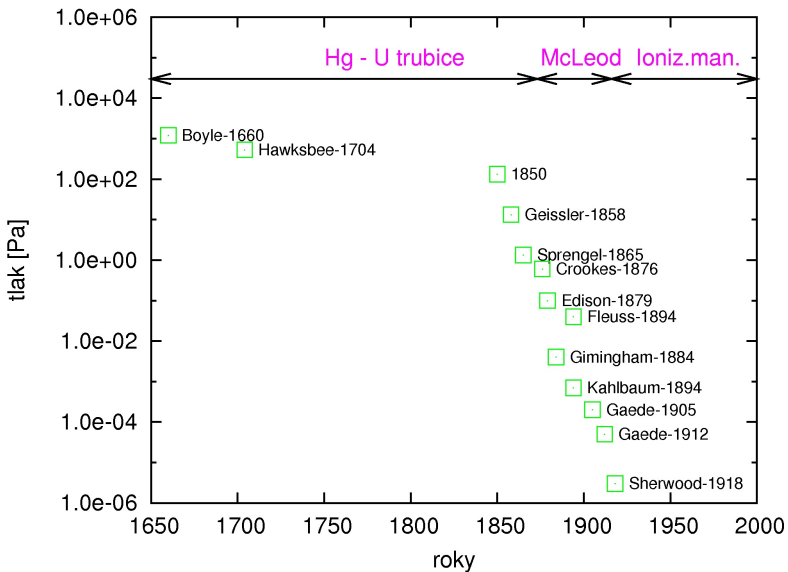
- Vakuum je označení pro stav systému, který obsahuje plyny, nebo páry, pokud je jejich tlak menší než tlak atmosférický.
- Jednotky tlaku:
 - **Pa [Nm⁻²] - jednotka v soustavě SI**
 - $1 \text{ bar} = 10^5 \text{ Pa}$
 - $1 \text{ mbar} = 100 \text{ Pa}$
 - $1 \text{ torr} = 133,322 \text{ Pa}$
 - $\text{mmHg} = 133,322 \text{ Pa}$
 - $1 \text{ atm} = 101325 \text{ Pa} = 760 \text{ torr (fyzikální atmosféra)}$
 - $1 \text{ at} = 98066,5 \text{ Pa} = 0,96784 \text{ atm (technická atmosféra)}$
 - $1 \text{ psi} = 6890 \text{ Pa}$
 - $1 \text{ psf} = 47,8 \text{ Pa}$

Historický vývoj

- 1643 - E.Torricelli, první vakuum
- 1654 - O. von Guericke, Magdeburkské polokoule
- 1855 - Geissler, výboje v plynech, rtuťová vývěva
- 1874 - H.G.Mac-Leod, kompresní manometr
- 1892 - Fleussova pístová vývěva, průmyslová výroba žárovek
- 1892 - Dewarova nádoba
- 1906 - M. Pirani, Piraniho tepelný manometr
- 1912 - W. Gaede, molekulární vývěva
- 1913 - W. Gaede, difúzní vývěva
- 1916 - Buckley, ionizační manometr
- 1925 - Fyzika nízkých tlaků, jako samostatný obor
- 1926 - olejová difúzní vývěva

<http://www.svc.org/HistoryofVacuumCoating/History-of-Vacuum-Coating.cfm>

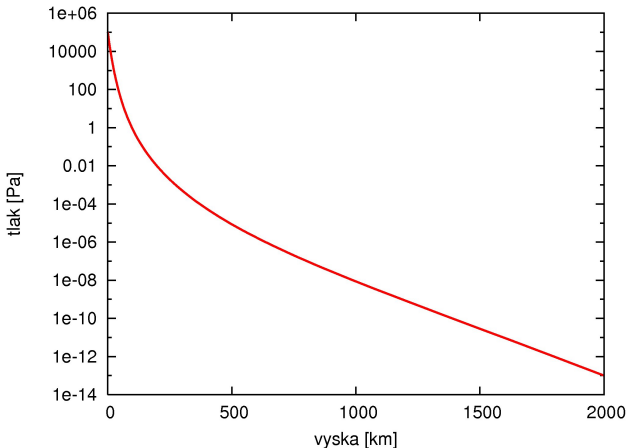
- 1929 - kapacitní manometr
- 1933 - neopren
- 1936 - Penning, výbojový manometr s magnetickým polem
- 1950 - Bayard-Alpert - ionizační manometr se žhavenou katodou
- 1958 - Becker, turbomolekulární vývěva
- 1967 - komerční kvadrupolový spektrometr
- 1973 - Scroll vývěva
- 1982 - viskózní manometr s rotující kuličkou



Závislost tlaku na nadmořské výšce

| výška [km] | tlak [mbar] | tlak [Pa] |
|------------|-------------|------------|
| 0 | 10^3 | 10^5 |
| 11 | 10^2 | 10^4 |
| 50 | 10^{-2} | 10^0 |
| 100 | 10^{-3} | 10^{-1} |
| 200 | 10^{-6} | 10^{-4} |
| 500 | 10^{-8} | 10^{-6} |
| 1000 | 10^{-10} | 10^{-8} |
| 2000 | 10^{-15} | 10^{-13} |

Závislost tlaku na nadmořské výšce



Tlak na Měsíci $1 \text{ nPa} = 10^{-9} \text{ Pa}$

Tlak v mezihvězdném prostoru $100 \mu\text{Pa} - 3 \text{ fPa}$, $10^{-4} \text{ Pa} - 3 \times 10^{-15} \text{ Pa}$

Rozdělení vakua

| vakuum | tlak [mbar] | tlak [Pa] |
|----------------------------|----------------------|---------------------|
| nízké, hrubé, technické | $10^3 - 10^0$ | $10^5 - 10^2$ |
| střední (FV) | $10^0 - 10^{-3}$ | $10^2 - 10^{-1}$ |
| vysoké (HV) | $10^{-3} - 10^{-7}$ | $10^{-1} - 10^{-5}$ |
| velmi vysoké (UHV) | $10^{-7} - 10^{-10}$ | $10^{-5} - 10^{-8}$ |
| extrémně vysoké (XHV) | $< 10^{-10}$ | $< 10^{-8}$ |

Rozdělení vakua

| vakuum | nízké | střední (FV) | vysoké (HV) | UHV, XHV |
|--------------------------|---------------------|---------------------|---------------------|-------------|
| tlak [Pa] | $10^5 - 10^2$ | $10^2 - 10^{-1}$ | $10^{-1} - 10^{-5}$ | $< 10^{-5}$ |
| n [cm^{-3}] | $10^{19} - 10^{16}$ | $10^{16} - 10^{13}$ | $10^{13} - 10^9$ | $< 10^9$ |
| λ [cm] | $< 10^{-2}$ | $10^{-2} - 10^1$ | $10^1 - 10^5$ | $> 10^5$ |
| τ [s] | $< 10^{-5}$ | $10^{-5} - 10^{-2}$ | $10^{-2} - 10^2$ | $> 10^2$ |
| proudění | viskózní | Knudsenovo | molekulární | molekulární |

Využití vakua

Vědecké aplikace

Průmyslové aplikace

Využití vakua - vědecké aplikace

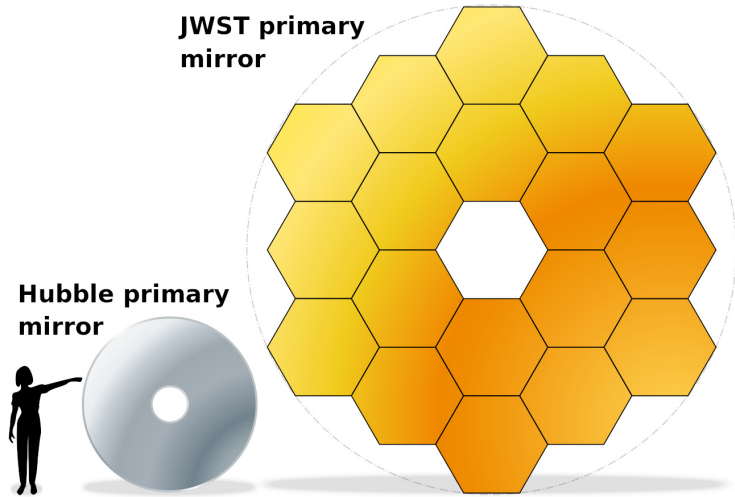
- astronomie - dalekohledy
- diagnostické metody - elektronový mikroskop, hmotnostní spektrometr, optický vakuový spektrometr, XPS, ...
- fyzika plazmatu - výboje v plynech, ...
- chemie - filtrace, vakuová destilace, čisté materiály, ...
- metrologie - etalony pro kalibrace
- tenké vrstvy - napařování, naprašování
- plazmochemické reaktory
- fyzika nízkých teplot
- urychlovače částic - synchrotrony, LHC, ...
- termojaderné reaktory - ITER, ...
- základní výzkum - simulátory kosmického prostoru, pádová věž, LIGO, Casimirův jev, ...

Hubble Space Telescope

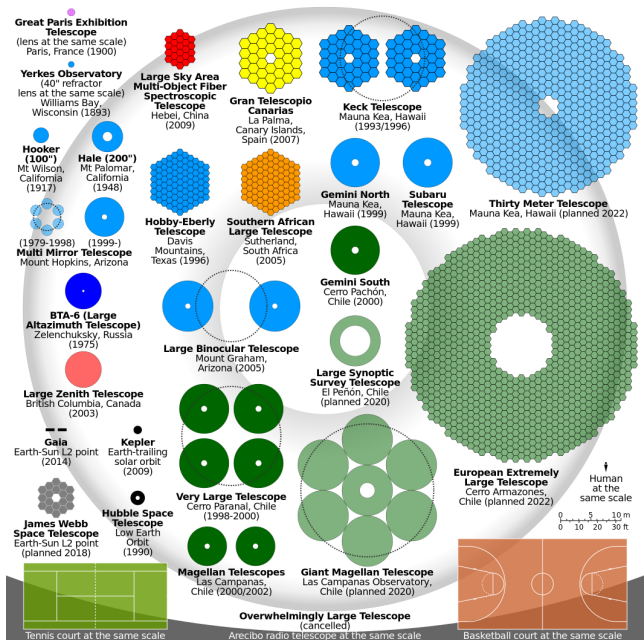
- výroba 1977–1979
- broušení 1979–1981
- průměr 2,4 m, celková hmotnost 11 t
- přesnost broušení 30 nm
- odrazné vrstvy - Al 76,2 nm, fluorid hořčíku - 25,4 nm (UV)
- vypuštění - 24.4.1990, let STS 31



http://en.wikipedia.org/wiki/Hubble_Space_Telescope



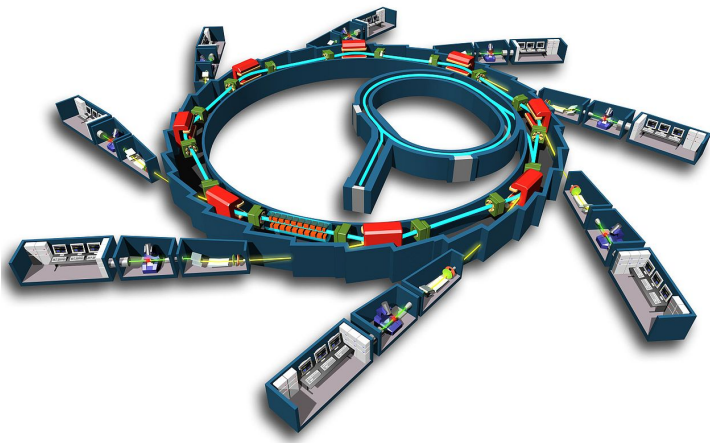
Wikipedie



Urychlovače částic

- velká střední volná dráha
- LHC, synchrotrony, ...
- základní výzkum - čisticová fyzika, materiály, biologie, medicína
- farmaceutický průmysl
- léčení rakoviny
- 2015 - 17000 urychlovačů

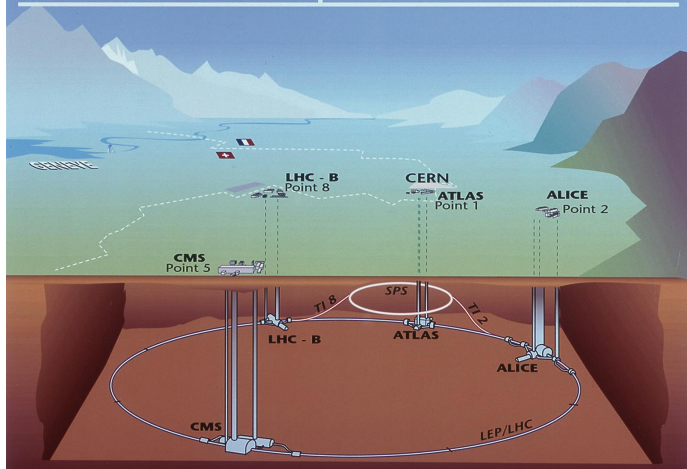
Synchrotron



<http://en.wikipedia.org/>

Urychlovač LHC

Overall view of the LHC experiments.



50 – 150 m pod zemí, délka 27 km
home.web.cern.ch/topics/large-hadron-collider

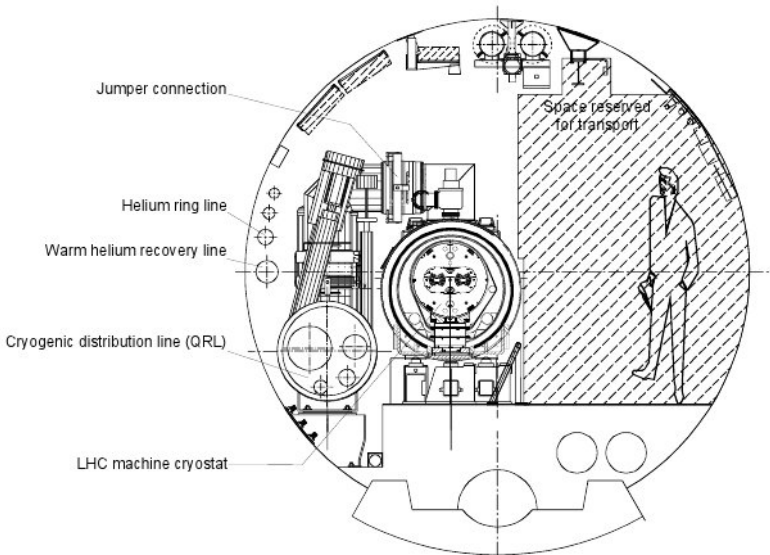
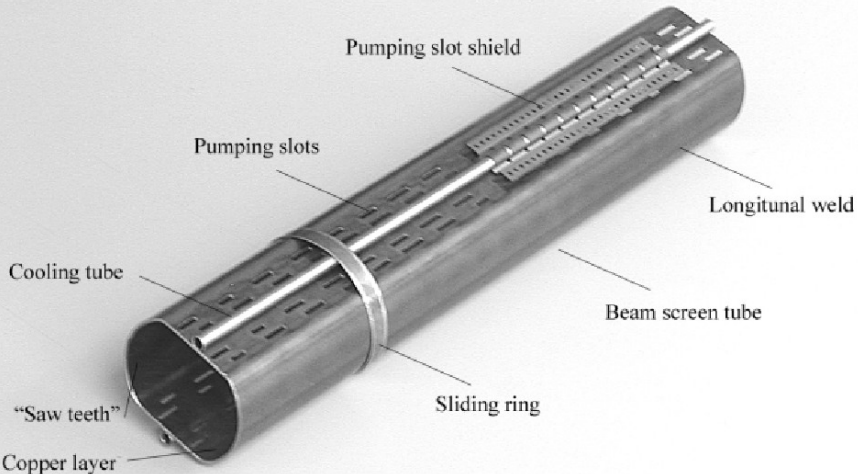


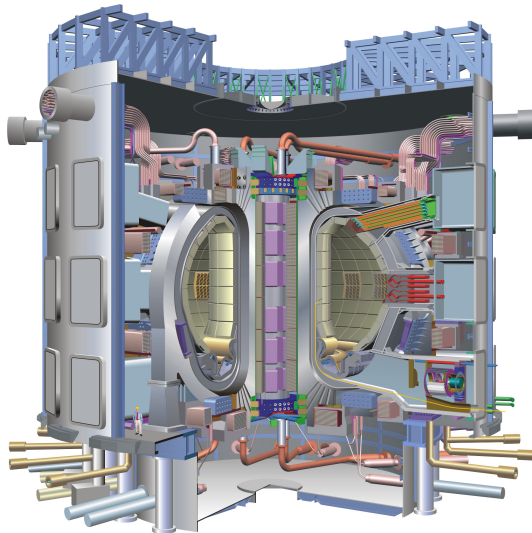
Figure 11.1: Transverse cross-section of the LHC tunnel



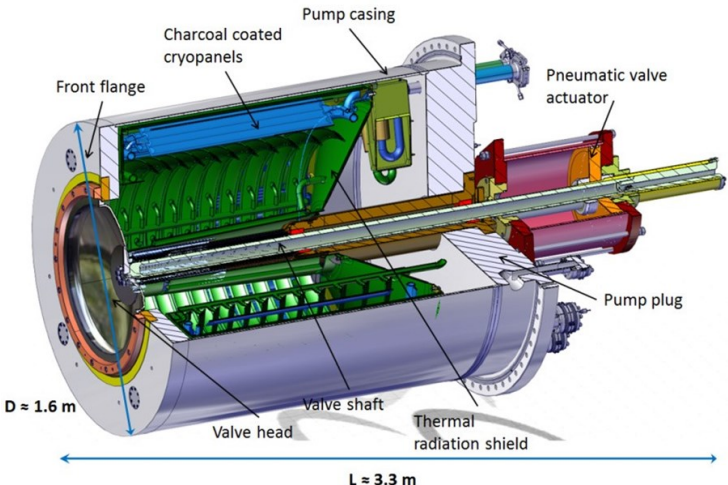
průměr asi 45 mm, 1 mm nerez ocel + 75 μm Cu, 5 – 20 K
home.web.cern.ch/topics/large-hadron-collider

ITER

plazma: 840 m³, vakuum komora: 1400 m³, celkem vakuum: 8500 m³



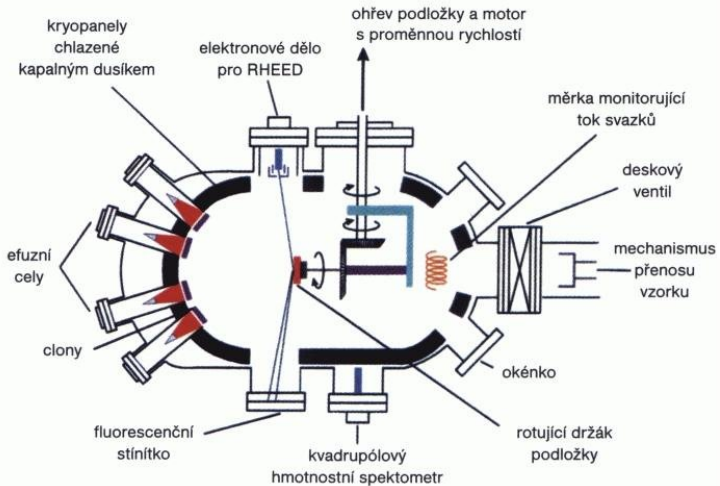
www.iter.org



ITER

- potřebný tlak $\sim 10^{-6}$ Pa,
- komora: 840 m³ plazma, objem 1400 m³, kryostat, celkem ~ 8500 m³
- na komoře 6 kryo-vývěv (4,5 K), 4 čerpají, 2 regenerace - 10 min., 100 K
- na kryostatu a pom. zařízeních dalších 6 vývěv
- sorbent: 20 let výzkum - aktivní uhlí, kokosové ořechy, Indonésie (2002)
- největší celokovový ventil
- první plazma 2034 ?, původní plán 2016

Molecular Beam Epitaxy



<http://www.fzu.cz/oddeleni/povrchy/mbe/index.html>

Experiment na orbitální dráze

- tlak na oběžné dráze raketoplánu (500 km) 10^{-6} Pa
- za štítem o průměru 3,6 m , 10^{-12} Pa
- 1994 - WSF1 - porucha orientace, STS60
- 1995 - WSF2 - porucha MBE, STS69
- 1996 - WSF3 - úspěch 7 vrstev GaAs/AlGaAs, STS80



http://mek.kosmo.cz/pil_lety/usa/sts/sts-60/index.htm

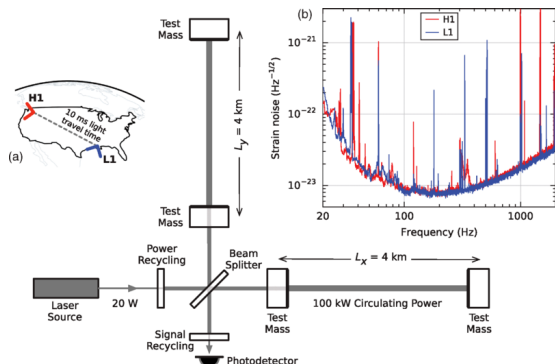
Pádová věž

- ZARM - Brémy
- výška 146 m, průměr 3,5 m, celkem objem 1700 m^3
- 18 vývěv, čerpací rychlosť $32\,000 \text{ m}^3/\text{h}$, tlak 10 Pa
- doba pádu asi 5 s



LIGO - Laser Interferometer Gravitational-Wave Observatory

objem asi $10\ 000\ m^3$, tlak $\sim 10^{-7}\ Pa$



Wikipedia

Experiment - KATRIN

The diagram illustrates the experimental setup for beta-particle transport and detection. It consists of several stages connected sequentially:

- parametry zdroje**: A source of tritium (${}^3\text{H}$) and helium-3 (${}^3\text{He}$) molecules.
- stabilní sloupcová hustota tritia**: A stable column density of tritium.
- transport čistic β a odčerpání tritia**: Transport of beta particles and removal of tritium.
- zadržení nízkoenergetických čistic β**: Retention of low-energy beta particles.
- přesná energetická analýza čistic β**: Precise energy analysis of beta particles.
- polohově citlivý detektor čistic β**: Position-sensitive detector for beta particles.

zadní část (Background part):

- plynný zdroj tritiových molekul**: A gaseous source of tritium molecules.
- rozpád β**: Beta decay of tritium.
- $10^{10} \text{ e}^-/\text{s}$** : Decay rate of tritium.
- $\bar{\nu}_e$** : Electron neutrino.
- ${}^3\text{He}$** : Helium-3 atoms.
- ${}^3\text{H}$** : Tritium atoms.
- $3 \times 10^{-3} \text{ mbar}$** : Pressure: $\pm 1 \text{ kV}$.

deferenciální čerpání tritia (Differentiated pumping of tritium):

- $10^{10} \text{ e}^-/\text{s}$** : Decay rate of tritium.
- ${}^3\text{He}$** : Helium-3 atoms.
- ${}^3\text{H}$** : Tritium atoms.
- 10^{-11} mbar** : Pressure: $-18,4 \text{ kV}$.

předsazený spektrometr (Pre-set spectrometer):

- $10^3 \text{ e}^-/\text{s}$** : Decay rate of tritium.
- ${}^3\text{H}$** : Tritium atoms.
- 10^{-11} mbar** : Pressure: $-18,4 \text{ kV}$.

hlavní elektronový spektrometr (Main electron spectrometer):

- $< 1 \text{ e}^-/\text{s}$** : Decay rate of tritium.
- ${}^3\text{H}$** : Tritium atoms.
- 10^{-11} mbar** : Pressure: $-18,574 \text{ kV}$.

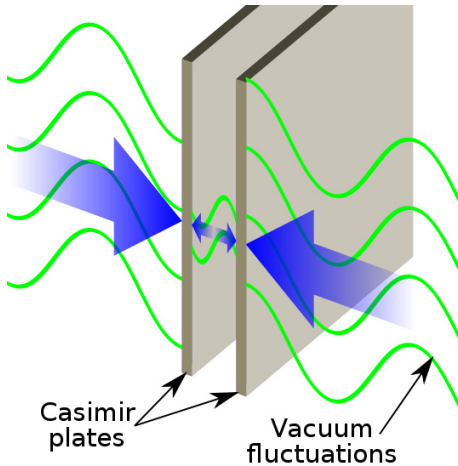
detektor (Detector):

www.osel.cz

Experiment - KATRIN



Casimirův jev



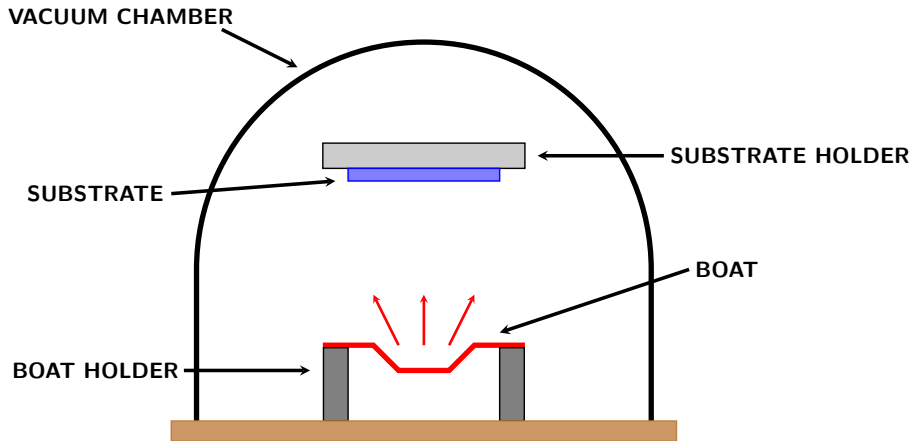
<http://en.wikipedia.org/wiki/>

Elektronové mikroskopy

- katoda - termoemisní $< 10^{-2}$ Pa
- katoda - autoemisní studená emise $< 10^{-8}$ Pa
- Schottkyho katoda $< 10^{-6}$ Pa
- prodloužení životnosti, vyšší stabilita, užší svazek elektronů
- výhody autoemise - nižší rozptyl energií elektronů \implies menší stopa, větší rozlišení

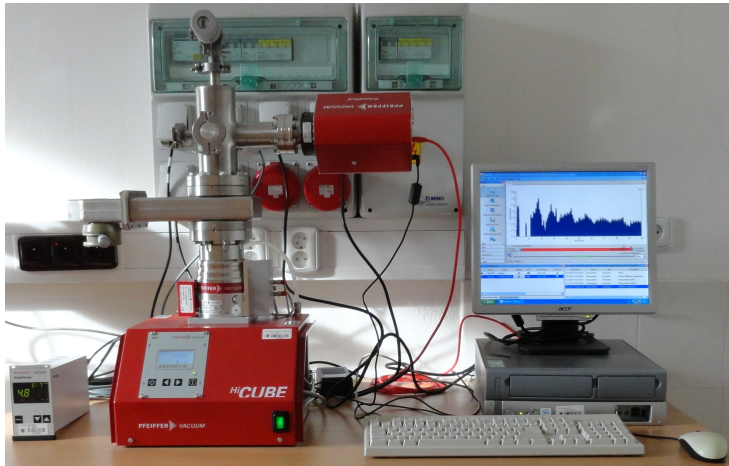


Vakuové napařování

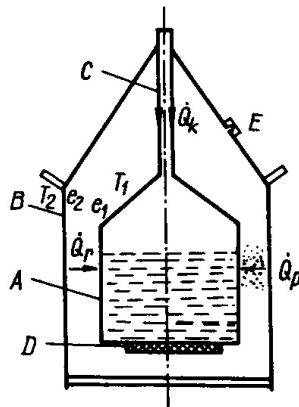




Hmotnostní spektrometr



Tepelná izolace - Dewarova nádoba



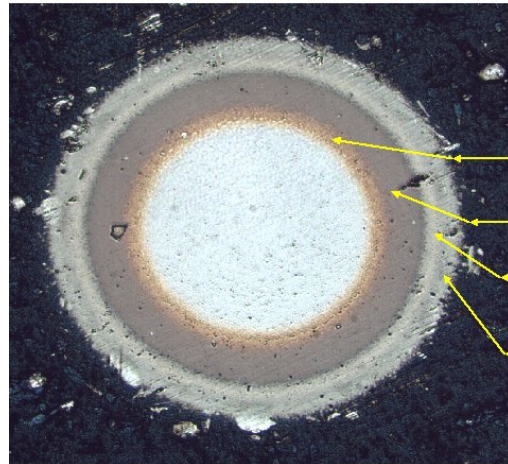
Obr. 67. Jednoduchá
Dewarova nádoba pro
přechovávání LN_2

Využití vakua - průmyslové aplikace

- osvětlovací technika - žárovky, zářivky, úsporné žárovky
- vytváření tenkých vrstev - okna, brýle, zrcadla, ...
- barierové vrstvy na lahve
- elektronika
- chemický průmysl - vakuová destilace ropy,...
- metalurgie - čisté kovy, nitridace,...
- vakuové manipulátory, pinzety,...
- kryogenní technika - tepelná izolace
- vakuové balení potravin
- regenerace transformátorových olejů
- svařovaní e-svazkem
- lisování plastických hmot
- odlévání plastických hmot

Tenké vrstvy





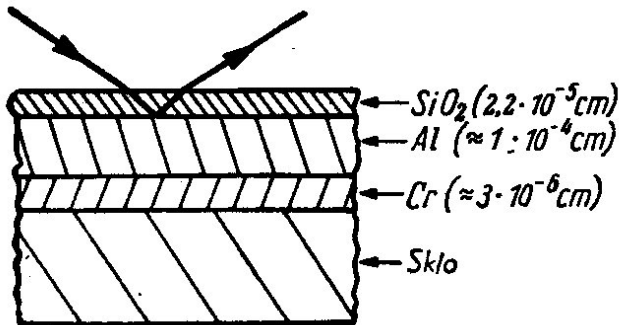
TiN- adhesive layer

TiAlN – layer with max.
hardness

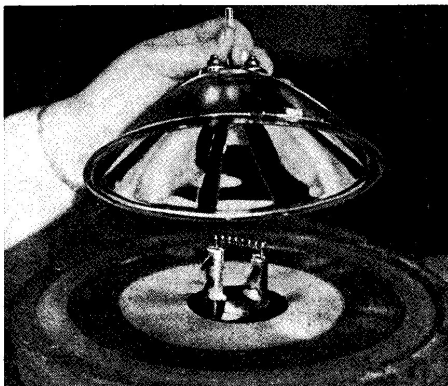
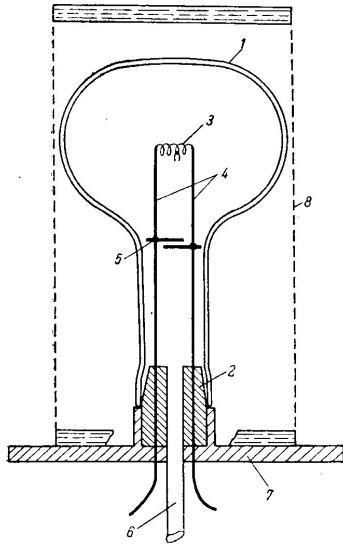
TiAlCO I – layer with
optimal stoichiometry

AlTiCO II – layer with
low friction coefficient -
LUBRIK

Zrcadlové plochy

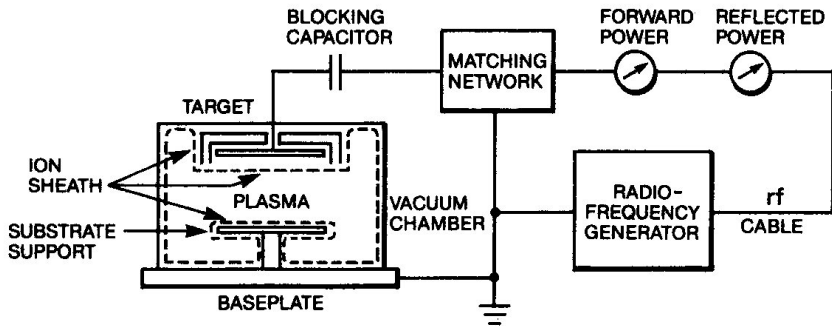


W. Espe: Technologia hmot vákuovej techniky, SAV, Bratislava 1960



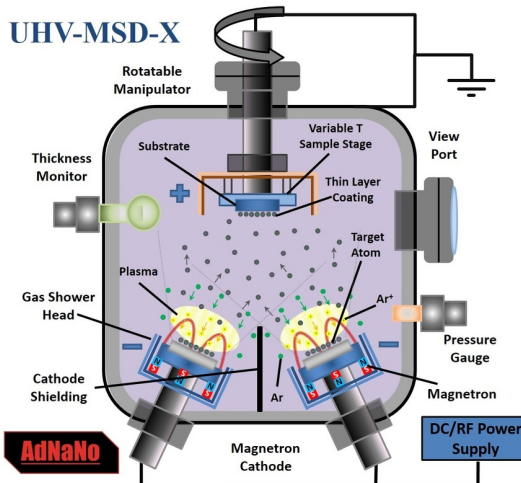
Obr. 10-218. Odber pohliníkovaneho reflektora
(pozri obr. 10-216) z naparovacieho zariadenia.
Snímka závodu: General Electric Comp.
(pozri Rose).

PACVD



R.V.Stuart: Vacuum technology Thin Films and Sputtering, Academic Press 1983

Magnetron



AdNaNo

www.adnano - tek.com

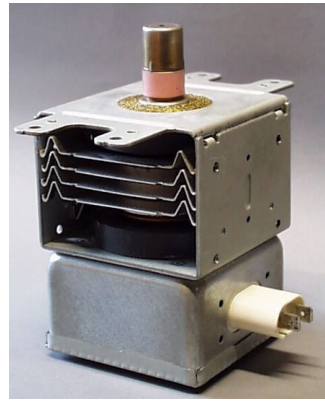
Výroba CD-ROM, DVD, ...

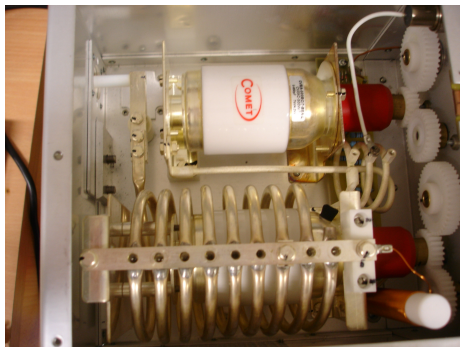


Barierová vrstva při výrobě plastových lahví PET

- transparentní barierová vrstva SiO_x
- zlepšení vlastností plastů
- zabránit pronikání plynů zejména O_2 a CO_2
- PACVD - mikrovlnné plazma
- kapacita ~ 10000 lahví za hodinu

Elektronika



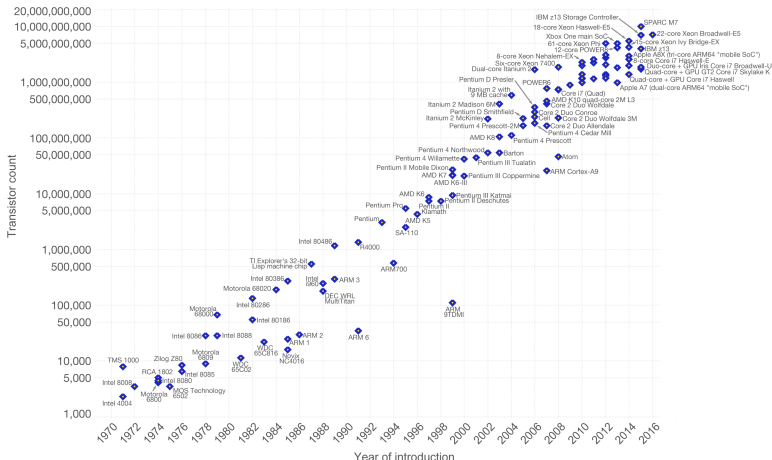


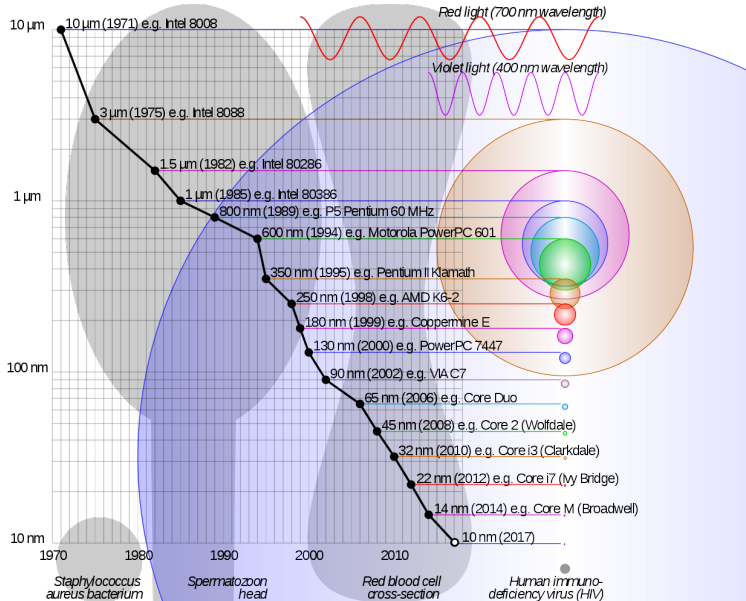
Aplikace v mikroelektronice

Moore's Law – The number of transistors on integrated circuit chips (1971–2016)

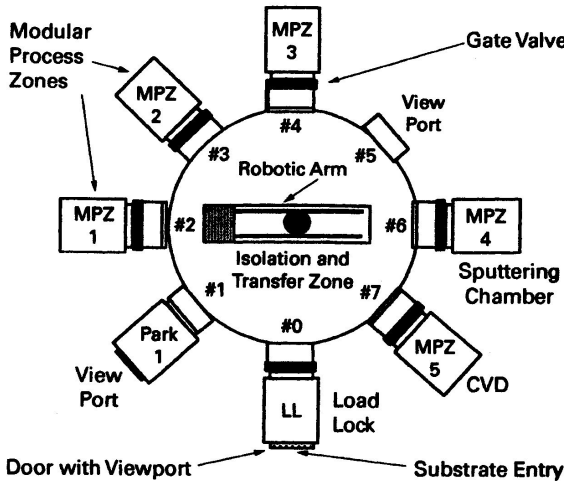


Moore's law describes the empirical regularity that the number of transistors on integrated circuits doubles approximately every two years. This advancement is important as other aspects of technological progress – such as processing speed or the price of electronic products – are strongly linked to Moore's law.



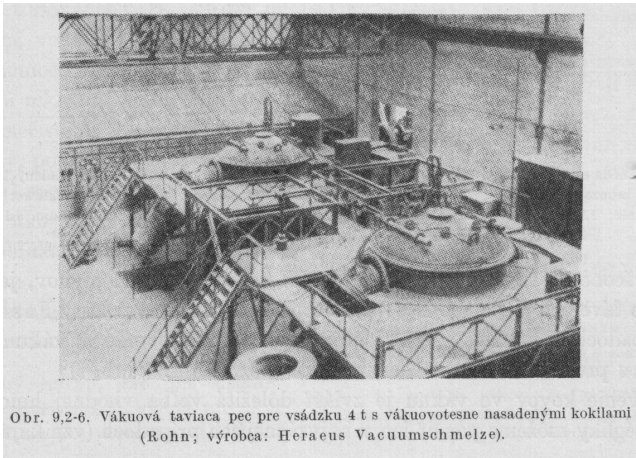


<http://en.wikipedia.org>, 2020 - 5 nm, 2022 - 3 nm



F.O'Hanlon: A User's Guide to Vacuum Technology, Wiley (2003)

Metalurgie



Obr. 9,2-6. Vákuová taviaca pec pre vsádzku 4 t s vákuovotesne nasadenými kokilami
(Rohn; výrobca: Heraeus Vacuum schmelze).

W. Espe: Technologia hmot vákuovej techniky, SAV, Bratislava 1960



Figure 4.2 First stage of a steam jet vacuum pump for a steel degassing plant.

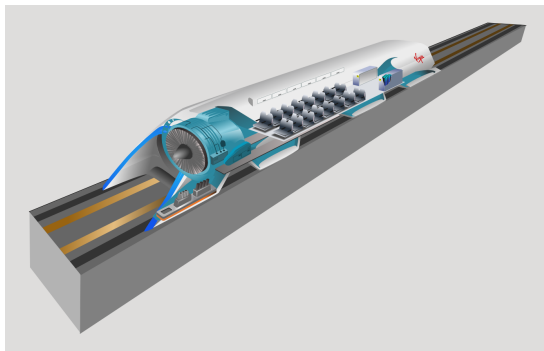
W.Jorish: Vacuum Technology in the Chemical Industry, Wiley, 2015

Doprava, budoucí aplikace - Hyperloop???

Odhad max. rychlosť: ~ 1200 km/h,

vzdálosť 560 km za 35 min

pro porovnání: TGV - 320 km/h, Maglev 600 km/h



Wikipedia

Závěr

Podle dané aplikace a tlaku, který potřebujeme musíme vybrat:

- vakuový čerpací systém - typ vývěv, čerpací rychlosti, ...
- manometry pro měření tlaku
- materiály pro konstrukci aparatury